

Projekt

Akce : Sanace budovy a zastřešení schodiště - pracoviště Otická
Část : Stavebně konstrukční řešení
Popis : Zastřešení schodiště
Odběratel : OA a SŠ logistická
Vypracoval : Ing. Geryk a Ing. Géryk
Datum : 18.05.2025

Norma

Norma EN 1993-1-1, EN 1993-1-4/Česko.

Součinitele pro ocelové konstrukce
Únosnost průřezu : $\gamma_{M0} = 1,000$
Únosnost průřezu při posuzování stability : $\gamma_{M1} = 1,000$
Únosnost oslabeného průřezu : $\gamma_{M2} = 1,250$
Součinitele pro korozivzdornou ocel
Únosnost průřezu : $\gamma_{M0} = 1,100$
Únosnost průřezu při posuzování stability : $\gamma_{M1} = 1,100$
Únosnost oslabeného průřezu : $\gamma_{M2} = 1,250$

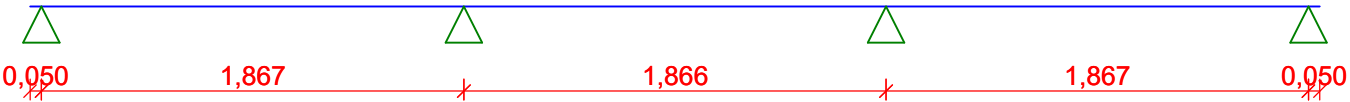
1 Průvlak 100/150/4

1.1 Vstupní data

Délka dílce: 5,700 m

Geometrie

x [m]	Typ uzlu	A/L [m]	I/L [m³]
0,000	volná	-	-
0,050	kloub	-	-
1,917	kloub	-	-
3,783	kloub	-	-
5,650	kloub	-	-
5,700	volná	-	-



Průřez

Úsek č.	Začátek [m]	Konec [m]	Průřez	Natočení [°]
1	0,000	5,700	CFRHS 150 x 100 x 4.0	0,0

Materiál

Název: EN 10210-1 : S 235

Zatěžovací stavy

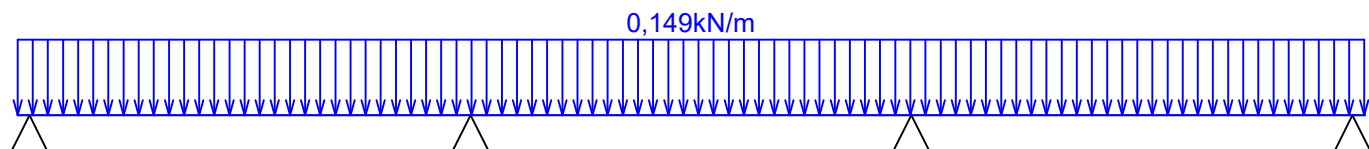
č.	Název	Kód	Typ	γ_f ($\gamma_{f,inf}$)*	Součinitele pro kombinace				
					ξ	Kateg.**	ψ_0	ψ_1	ψ_2
1	G1 vlastní tíha-stálé	Vlastní tíha	Stálé	1,35(0,90)	0,85	-	-	-	-
2	G2 silové-stálé	Silové	Stálé	1,35(0,90)	0,85	-	-	-	-
3	G3 silové-stálé	Silové	Stálé	1,35(0,90)	0,85	-	-	-	-
4	G4 silové-stálé	Silové	Stálé	1,35(0,90)	0,85	-	-	-	-
5	G5 silové-stálé	Silové	Stálé	1,35(0,90)	0,85	-	-	-	-
6	G6 silové-stálé	Silové	Stálé	1,35(0,90)	0,85	-	-	-	-

Č.	Název	Kód	Typ	Y _f (Y _{f,inf})*	Součinitele pro kombinace				
					ξ	Kateg.**	ψ ₀	ψ ₁	ψ ₂
7	G7 silové-stálé	Silové	Stálé	1,35(0,90)	0,85	-	-	-	-
8	G8 silové-stálé	Silové	Stálé	1,35(0,90)	0,85	-	-	-	-
9	Q9 silové-proměnné (1)	Silové	Proměnné	1,50	-	H	0,70	0,20	0,00
10	Q10 silové-proměnné (2)	Silové	Proměnné	1,50	-	H	0,70	0,20	0,00
11	Q11 silové-proměnné (3)	Silové	Proměnné	1,50	-	H	0,70	0,20	0,00
12	Q12 silové-proměnné (4)	Silové	Proměnné	1,50	-	H	0,70	0,20	0,00
13	Q13 silové-proměnné (5)	Silové	Proměnné	1,50	-	H	0,70	0,20	0,00
14	Q14 silové-proměnné (6)	Silové	Proměnné	1,50	-	H	0,70	0,20	0,00
15	Q15 silové-proměnné (7)	Silové	Proměnné	1,50	-	H	0,70	0,20	0,00
16	S16 silové-proměnné sníh (1)	Silové	Proměnné sníh	1,50	-	H<1000	0,50	0,20	0,00
17	W17 silové-proměnné vítr (1)	Silové	Proměnné vítr	1,50	-	Vítr	0,60	0,20	0,00

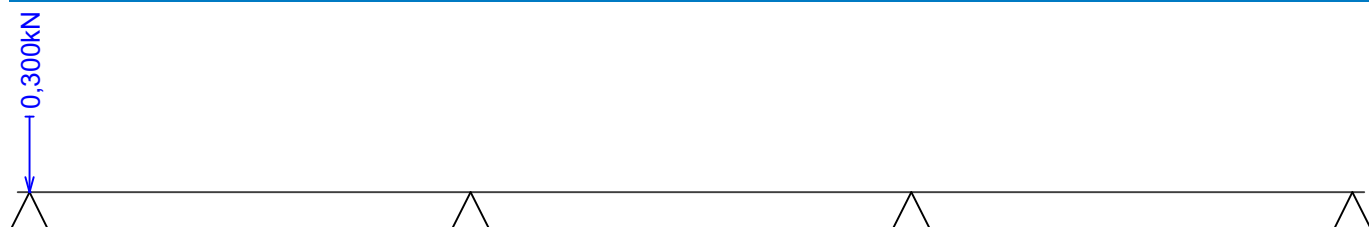
* Y_{f,inf} pro příznivě působící stálá zatížení

** Kategorie proměnných zatížení podle tabulky A1.1 v EN 1990

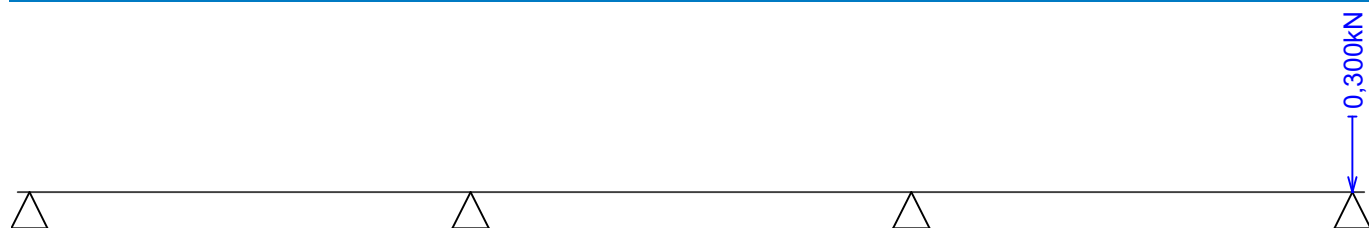
G1 vlastní tíha-stálé - zatížení				
Typ	Souř.x [m]	Délka [m]	Vel.1	Vel.2
pásové	0,000	5,700	0,149kN/m	-



G2 silové-stálé - zatížení				
Typ	Souř.x [m]	Délka [m]	Vel.1	Vel.2
síla	0,050	-	0,300kN	-



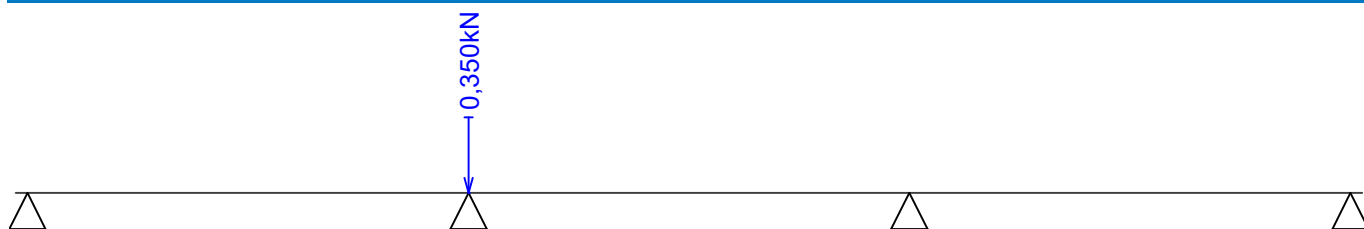
G3 silové-stálé - zatížení				
Typ	Souř.x [m]	Délka [m]	Vel.1	Vel.2
síla	5,650	-	0,300kN	-



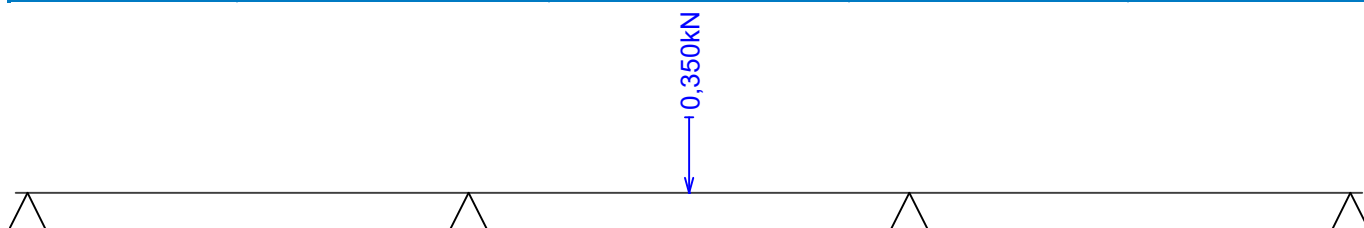
G4 silové-stálé - zatížení				
Typ	Souř.x [m]	Délka [m]	Vel.1	Vel.2
síla	0,983	-	0,350kN	-



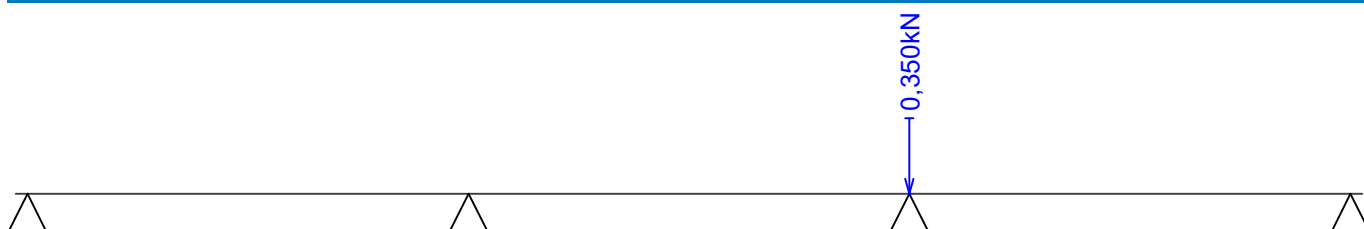
G5 silové-stálé - zatížení				
Typ	Souř.x [m]	Délka [m]	Vel.1	Vel.2
síla	1,917	-	0,350kN	-



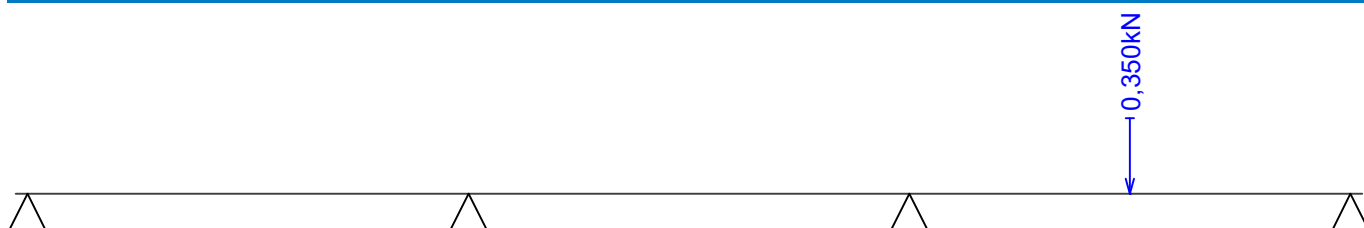
G6 silové-stálé - zatížení				
Typ	Souř.x [m]	Délka [m]	Vel.1	Vel.2
síla	2,850	-	0,350kN	-



G7 silové-stálé - zatížení				
Typ	Souř.x [m]	Délka [m]	Vel.1	Vel.2
síla	3,783	-	0,350kN	-

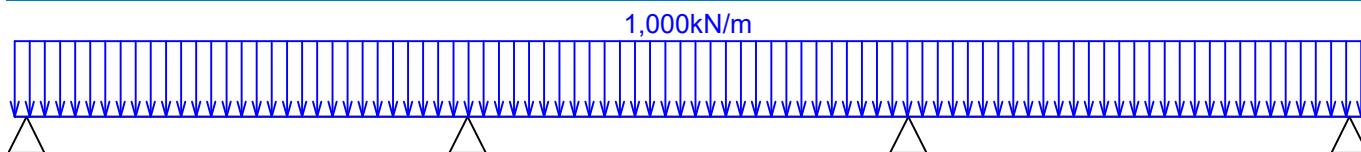


G8 silové-stálé - zatížení				
Typ	Souř.x [m]	Délka [m]	Vel.1	Vel.2
síla	4,716	-	0,350kN	-



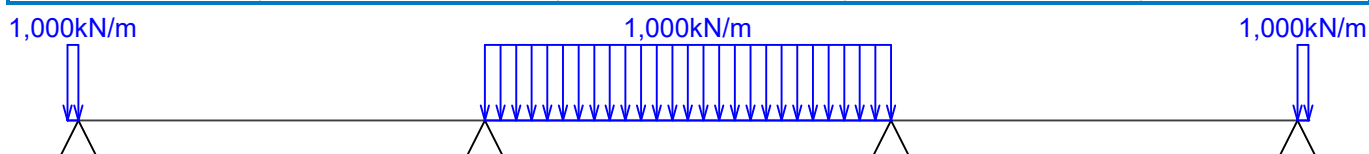
Q9 silové-proměnné (1) - zatížení

Typ	Souř.x [m]	Délka [m]	Vel.1	Vel.2
pásové	0,000	5,700	1,000kN/m	-



Q10 silové-proměnné (2) - zatížení

Typ	Souř.x [m]	Délka [m]	Vel.1	Vel.2
pásové	0,000	0,050	1,000kN/m	-
pásové	1,917	1,866	1,000kN/m	-
pásové	5,650	0,050	1,000kN/m	-



Q11 silové-proměnné (3) - zatížení

Typ	Souř.x [m]	Délka [m]	Vel.1	Vel.2
pásové	0,050	1,867	1,000kN/m	-
pásové	3,783	1,867	1,000kN/m	-



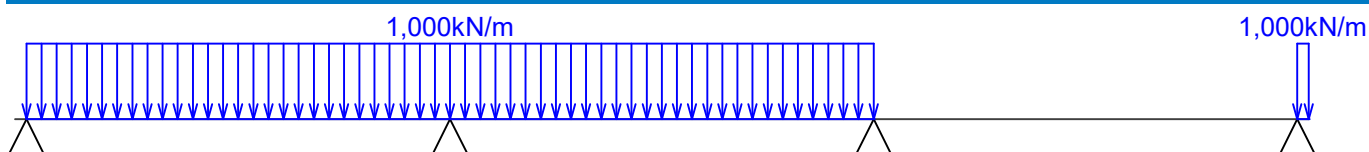
Q12 silové-proměnné (4) - zatížení

Typ	Souř.x [m]	Délka [m]	Vel.1	Vel.2
pásové	0,000	1,917	1,000kN/m	-
pásové	3,783	1,867	1,000kN/m	-



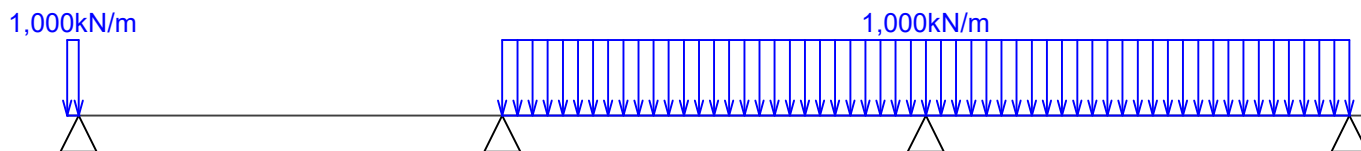
Q13 silové-proměnné (5) - zatížení

Typ	Souř.x [m]	Délka [m]	Vel.1	Vel.2
pásové	0,050	3,733	1,000kN/m	-
pásové	5,650	0,050	1,000kN/m	-



Q14 silové-proměnné (6) - zatížení

Typ	Souř.x [m]	Délka [m]	Vel.1	Vel.2
pásové	0,000	0,050	1,000kN/m	-
pásové	1,917	3,733	1,000kN/m	-



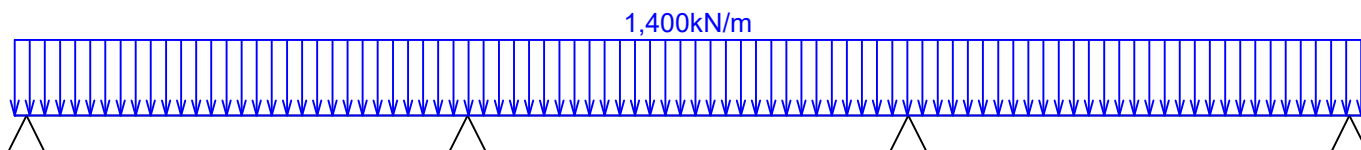
Q15 silové-proměnné (7) - zatížení

Typ	Souř.x [m]	Délka [m]	Vel.1	Vel.2
pásové	0,050	1,867	1,000kN/m	-
pásové	3,783	1,917	1,000kN/m	-



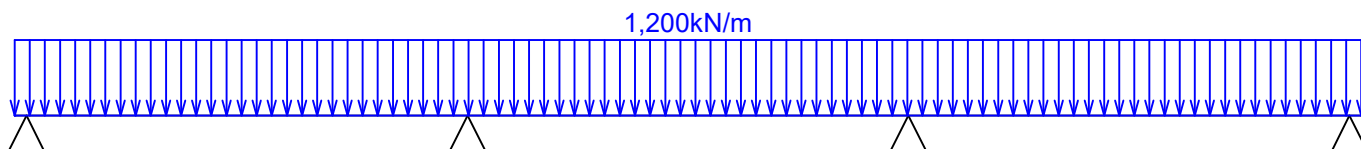
S16 silové-proměnné sníh (1) - zatížení

Typ	Souř.x [m]	Délka [m]	Vel.1	Vel.2
pásové	0,000	5,700	1,400kN/m	-



W17 silové-proměnné vítr (1) - zatížení

Typ	Souř.x [m]	Délka [m]	Vel.1	Vel.2
pásové	0,000	5,700	1,200kN/m	-



Vnitřní síly

Celkový počet zatěžovacích případů: 122

G1+G2+G3+G4+G5+G6+G7+G8:

	V_3 [kN]	M_2 [kNm]	R_z [kN]	RO_x [kNm]
Max. hodnota	0,394	0,153	1,058	-
Min. hodnota	-0,394	-0,150	0,541	-

W17:G1+G2+G3+G4+G5+G6+G7+G8:

	V_3 [kN]	M_2 [kNm]	R_z [kN]	RO_x [kNm]
Max. hodnota	1,737	0,467	3,521	-
Min. hodnota	-1,737	-0,568	1,498	-

S16:G1+G2+G3+G4+G5+G6+G7+G8:

	V_3 [kN]	M_2 [kNm]	R_z [kN]	RO_x [kNm]
Max. hodnota	1,961	0,522	3,931	-

	V_3 [kN]	M_2 [kNm]	R_z [kN]	RO_x [kNm]
Min. hodnota	-1,961	-0,637	1,658	-

S16:G1+G2+G3+G4+G5+G6+G7+G8+W17:

	V_3 [kN]	M_2 [kNm]	R_z [kN]	RO_x [kNm]
Max. hodnota	2,767	0,723	5,409	-
Min. hodnota	-2,767	-0,888	2,232	-

W17:G1+G2+G3+G4+G5+G6+G7+G8+S16:

	V_3 [kN]	M_2 [kNm]	R_z [kN]	RO_x [kNm]
Max. hodnota	2,521	0,662	4,957	-
Min. hodnota	-2,521	-0,811	2,057	-

Q15:G1+G2+G3+G4+G5+G6+G7+G8:

	V_3 [kN]	M_2 [kNm]	R_z [kN]	RO_x [kNm]
Max. hodnota	1,421	0,502	2,085	-
Min. hodnota	-1,420	-0,324	1,381	-

Q15:G1+G2+G3+G4+G5+G6+G7+G8+W17:

	V_3 [kN]	M_2 [kNm]	R_z [kN]	RO_x [kNm]
Max. hodnota	2,227	0,690	3,562	-
Min. hodnota	-2,226	-0,575	1,956	-

W17:G1+G2+G3+G4+G5+G6+G7+G8+Q15:

	V_3 [kN]	M_2 [kNm]	R_z [kN]	RO_x [kNm]
Max. hodnota	2,456	0,711	4,239	-
Min. hodnota	-2,455	-0,690	2,087	-

Q15:G1+G2+G3+G4+G5+G6+G7+G8+S16:

	V_3 [kN]	M_2 [kNm]	R_z [kN]	RO_x [kNm]
Max. hodnota	2,204	0,685	3,521	-
Min. hodnota	-2,204	-0,568	1,940	-

S16:G1+G2+G3+G4+G5+G6+G7+G8+Q15:

	V_3 [kN]	M_2 [kNm]	R_z [kN]	RO_x [kNm]
Max. hodnota	2,680	0,766	4,650	-
Min. hodnota	-2,679	-0,759	2,246	-

Q15:G1+G2+G3+G4+G5+G6+G7+G8+S16+W17:

	V_3 [kN]	M_2 [kNm]	R_z [kN]	RO_x [kNm]
Max. hodnota	3,010	0,876	4,999	-
Min. hodnota	-3,010	-0,819	2,514	-

S16:G1+G2+G3+G4+G5+G6+G7+G8+Q15+W17:

	V_3 [kN]	M_2 [kNm]	R_z [kN]	RO_x [kNm]
Max. hodnota	3,486	0,966	6,128	-
Min. hodnota	-3,485	-1,010	2,820	-

W17:G1+G2+G3+G4+G5+G6+G7+G8+Q15+S16:

	V_3 [kN]	M_2 [kNm]	R_z [kN]	RO_x [kNm]
Max. hodnota	3,239	0,905	5,676	-
Min. hodnota	-3,239	-0,933	2,645	-

Q14:G1+G2+G3+G4+G5+G6+G7+G8:

	V_3 [kN]	M_2 [kNm]	R_z [kN]	RO_x [kNm]
Max. hodnota	1,403	0,388	3,298	-
Min. hodnota	-1,545	-0,556	0,530	-

Q14:G1+G2+G3+G4+G5+G6+G7+G8+W17:

	V_3 [kN]	M_2 [kNm]	R_z [kN]	RO_x [kNm]
Max. hodnota	2,074	0,589	4,776	-
Min. hodnota	-2,351	-0,807	1,104	-

W17:G1+G2+G3+G4+G5+G6+G7+G8+Q14:

	V_3 [kN]	M_2 [kNm]	R_z [kN]	RO_x [kNm]
Max. hodnota	2,196	0,646	5,089	-
Min. hodnota	-2,543	-0,852	1,491	-

Q14:G1+G2+G3+G4+G5+G6+G7+G8+S16:

	V_3 [kN]	M_2 [kNm]	R_z [kN]	RO_x [kNm]
Max. hodnota	2,056	0,583	4,735	-
Min. hodnota	-2,329	-0,800	1,088	-

S16:G1+G2+G3+G4+G5+G6+G7+G8+Q14:

	V_3 [kN]	M_2 [kNm]	R_z [kN]	RO_x [kNm]
Max. hodnota	2,382	0,701	5,499	-
Min. hodnota	-2,767	-0,922	1,650	-

Q14:G1+G2+G3+G4+G5+G6+G7+G8+S16+W17:

	V_3 [kN]	M_2 [kNm]	R_z [kN]	RO_x [kNm]
Max. hodnota	2,728	0,784	6,212	-
Min. hodnota	-3,135	-1,051	1,663	-

S16:G1+G2+G3+G4+G5+G6+G7+G8+Q14+W17:

	V_3 [kN]	M_2 [kNm]	R_z [kN]	RO_x [kNm]
Max. hodnota	3,054	0,902	6,977	-
Min. hodnota	-3,573	-1,172	2,224	-

W17:G1+G2+G3+G4+G5+G6+G7+G8+Q14+S16:

	V_3 [kN]	M_2 [kNm]	R_z [kN]	RO_x [kNm]
Max. hodnota	2,849	0,840	6,525	-
Min. hodnota	-3,327	-1,096	2,049	-

Q13:G1+G2+G3+G4+G5+G6+G7+G8:

	V_3 [kN]	M_2 [kNm]	R_z [kN]	RO_x [kNm]
Max. hodnota	1,545	0,386	3,298	-
Min. hodnota	-1,403	-0,556	0,530	-

Q13:G1+G2+G3+G4+G5+G6+G7+G8+W17:

	V_3 [kN]	M_2 [kNm]	R_z [kN]	RO_x [kNm]
Max. hodnota	2,351	0,582	4,775	-
Min. hodnota	-2,074	-0,807	1,104	-

W17:G1+G2+G3+G4+G5+G6+G7+G8+Q13:

	V_3 [kN]	M_2 [kNm]	R_z [kN]	RO_x [kNm]
Max. hodnota	2,543	0,638	5,089	-
Min. hodnota	-2,196	-0,852	1,490	-

Q13:G1+G2+G3+G4+G5+G6+G7+G8+S16:

	V_3 [kN]	M_2 [kNm]	R_z [kN]	RO_x [kNm]
Max. hodnota	2,329	0,576	4,734	-
Min. hodnota	-2,056	-0,800	1,088	-

S16:G1+G2+G3+G4+G5+G6+G7+G8+Q13:

	V_3 [kN]	M_2 [kNm]	R_z [kN]	RO_x [kNm]
Max. hodnota	2,767	0,693	5,499	-

	V ₃ [kN]	M ₂ [kNm]	R _z [kN]	RO _x [kNm]
Min. hodnota	-2,382	-0,922	1,650	-

Q13:G1+G2+G3+G4+G5+G6+G7+G8+S16+W17:

	V ₃ [kN]	M ₂ [kNm]	R _z [kN]	RO _x [kNm]
Max. hodnota	3,135	0,776	6,212	-
Min. hodnota	-2,728	-1,051	1,663	-

S16:G1+G2+G3+G4+G5+G6+G7+G8+Q13+W17:

	V ₃ [kN]	M ₂ [kNm]	R _z [kN]	RO _x [kNm]
Max. hodnota	3,573	0,893	6,977	-
Min. hodnota	-3,054	-1,172	2,224	-

W17:G1+G2+G3+G4+G5+G6+G7+G8+Q13+S16:

	V ₃ [kN]	M ₂ [kNm]	R _z [kN]	RO _x [kNm]
Max. hodnota	3,326	0,832	6,525	-
Min. hodnota	-2,849	-1,096	2,049	-

Q12:G1+G2+G3+G4+G5+G6+G7+G8:

	V ₃ [kN]	M ₂ [kNm]	R _z [kN]	RO _x [kNm]
Max. hodnota	1,420	0,502	2,085	-
Min. hodnota	-1,421	-0,324	1,381	-

Q12:G1+G2+G3+G4+G5+G6+G7+G8+W17:

	V ₃ [kN]	M ₂ [kNm]	R _z [kN]	RO _x [kNm]
Max. hodnota	2,226	0,689	3,563	-
Min. hodnota	-2,227	-0,575	1,955	-

W17:G1+G2+G3+G4+G5+G6+G7+G8+Q12:

	V ₃ [kN]	M ₂ [kNm]	R _z [kN]	RO _x [kNm]
Max. hodnota	2,455	0,711	4,240	-
Min. hodnota	-2,456	-0,690	2,086	-

Q12:G1+G2+G3+G4+G5+G6+G7+G8+S16:

	V ₃ [kN]	M ₂ [kNm]	R _z [kN]	RO _x [kNm]
Max. hodnota	2,203	0,684	3,522	-
Min. hodnota	-2,205	-0,568	1,940	-

S16:G1+G2+G3+G4+G5+G6+G7+G8+Q12:

	V ₃ [kN]	M ₂ [kNm]	R _z [kN]	RO _x [kNm]
Max. hodnota	2,679	0,766	4,650	-
Min. hodnota	-2,680	-0,759	2,246	-

Q12:G1+G2+G3+G4+G5+G6+G7+G8+S16+W17:

	V ₃ [kN]	M ₂ [kNm]	R _z [kN]	RO _x [kNm]
Max. hodnota	3,009	0,876	4,999	-
Min. hodnota	-3,010	-0,819	2,514	-

S16:G1+G2+G3+G4+G5+G6+G7+G8+Q12+W17:

	V ₃ [kN]	M ₂ [kNm]	R _z [kN]	RO _x [kNm]
Max. hodnota	3,485	0,967	6,128	-
Min. hodnota	-3,486	-1,010	2,820	-

W17:G1+G2+G3+G4+G5+G6+G7+G8+Q12+S16:

	V ₃ [kN]	M ₂ [kNm]	R _z [kN]	RO _x [kNm]
Max. hodnota	3,239	0,906	5,676	-
Min. hodnota	-3,240	-0,933	2,645	-

Q11:G1+G2+G3+G4+G5+G6+G7+G8:

	V₃[kN]	M₂[kNm]	R_z[kN]	RO_x[kNm]
Max. hodnota	1,421	0,502	2,085	-
Min. hodnota	-1,421	-0,324	1,381	-

Q11:G1+G2+G3+G4+G5+G6+G7+G8+W17:

	V₃[kN]	M₂[kNm]	R_z[kN]	RO_x[kNm]
Max. hodnota	2,227	0,690	3,562	-
Min. hodnota	-2,227	-0,575	1,956	-

W17:G1+G2+G3+G4+G5+G6+G7+G8+Q11:

	V₃[kN]	M₂[kNm]	R_z[kN]	RO_x[kNm]
Max. hodnota	2,456	0,711	4,239	-
Min. hodnota	-2,456	-0,690	2,086	-

Q11:G1+G2+G3+G4+G5+G6+G7+G8+S16:

	V₃[kN]	M₂[kNm]	R_z[kN]	RO_x[kNm]
Max. hodnota	2,204	0,685	3,521	-
Min. hodnota	-2,204	-0,568	1,940	-

S16:G1+G2+G3+G4+G5+G6+G7+G8+Q11:

	V₃[kN]	M₂[kNm]	R_z[kN]	RO_x[kNm]
Max. hodnota	2,680	0,766	4,650	-
Min. hodnota	-2,680	-0,759	2,246	-

Q11:G1+G2+G3+G4+G5+G6+G7+G8+S16+W17:

	V₃[kN]	M₂[kNm]	R_z[kN]	RO_x[kNm]
Max. hodnota	3,010	0,877	4,999	-
Min. hodnota	-3,010	-0,819	2,514	-

S16:G1+G2+G3+G4+G5+G6+G7+G8+Q11+W17:

	V₃[kN]	M₂[kNm]	R_z[kN]	RO_x[kNm]
Max. hodnota	3,486	0,967	6,128	-
Min. hodnota	-3,486	-1,010	2,820	-

W17:G1+G2+G3+G4+G5+G6+G7+G8+Q11+S16:

	V₃[kN]	M₂[kNm]	R_z[kN]	RO_x[kNm]
Max. hodnota	3,239	0,906	5,676	-
Min. hodnota	-3,240	-0,933	2,645	-

Q10:G1+G2+G3+G4+G5+G6+G7+G8:

	V₃[kN]	M₂[kNm]	R_z[kN]	RO_x[kNm]
Max. hodnota	1,247	0,340	2,083	-
Min. hodnota	-1,247	-0,324	0,499	-

Q10:G1+G2+G3+G4+G5+G6+G7+G8+W17:

	V₃[kN]	M₂[kNm]	R_z[kN]	RO_x[kNm]
Max. hodnota	1,919	0,402	3,561	-
Min. hodnota	-1,919	-0,574	1,073	-

W17:G1+G2+G3+G4+G5+G6+G7+G8+Q10:

	V₃[kN]	M₂[kNm]	R_z[kN]	RO_x[kNm]
Max. hodnota	2,086	0,418	4,238	-
Min. hodnota	-2,086	-0,689	1,469	-

Q10:G1+G2+G3+G4+G5+G6+G7+G8+S16:

	V₃[kN]	M₂[kNm]	R_z[kN]	RO_x[kNm]
Max. hodnota	1,900	0,401	3,520	-

	V_3 [kN]	M_2 [kNm]	R_z [kN]	RO_x [kNm]
Min. hodnota	-1,900	-0,567	1,057	-

S16:G1+G2+G3+G4+G5+G6+G7+G8+Q10:

	V_3 [kN]	M_2 [kNm]	R_z [kN]	RO_x [kNm]
Max. hodnota	2,273	0,473	4,649	-
Min. hodnota	-2,273	-0,759	1,628	-

Q10:G1+G2+G3+G4+G5+G6+G7+G8+S16+W17:

	V_3 [kN]	M_2 [kNm]	R_z [kN]	RO_x [kNm]
Max. hodnota	2,572	0,463	4,998	-
Min. hodnota	-2,572	-0,818	1,631	-

S16:G1+G2+G3+G4+G5+G6+G7+G8+Q10+W17:

	V_3 [kN]	M_2 [kNm]	R_z [kN]	RO_x [kNm]
Max. hodnota	2,945	0,674	6,127	-
Min. hodnota	-2,945	-1,010	2,202	-

W17:G1+G2+G3+G4+G5+G6+G7+G8+Q10+S16:

	V_3 [kN]	M_2 [kNm]	R_z [kN]	RO_x [kNm]
Max. hodnota	2,740	0,612	5,675	-
Min. hodnota	-2,740	-0,933	2,027	-

Q9:G1+G2+G3+G4+G5+G6+G7+G8:

	V_3 [kN]	M_2 [kNm]	R_z [kN]	RO_x [kNm]
Max. hodnota	1,513	0,414	3,110	-
Min. hodnota	-1,513	-0,498	1,339	-

Q9:G1+G2+G3+G4+G5+G6+G7+G8+W17:

	V_3 [kN]	M_2 [kNm]	R_z [kN]	RO_x [kNm]
Max. hodnota	2,319	0,611	4,588	-
Min. hodnota	-2,319	-0,749	1,913	-

W17:G1+G2+G3+G4+G5+G6+G7+G8+Q9:

	V_3 [kN]	M_2 [kNm]	R_z [kN]	RO_x [kNm]
Max. hodnota	2,521	0,662	4,957	-
Min. hodnota	-2,521	-0,811	2,057	-

Q9:G1+G2+G3+G4+G5+G6+G7+G8+S16:

	V_3 [kN]	M_2 [kNm]	R_z [kN]	RO_x [kNm]
Max. hodnota	2,297	0,606	4,547	-
Min. hodnota	-2,297	-0,742	1,897	-

S16:G1+G2+G3+G4+G5+G6+G7+G8+Q9:

	V_3 [kN]	M_2 [kNm]	R_z [kN]	RO_x [kNm]
Max. hodnota	2,744	0,717	5,368	-
Min. hodnota	-2,745	-0,881	2,216	-

Q9:G1+G2+G3+G4+G5+G6+G7+G8+S16+W17:

	V_3 [kN]	M_2 [kNm]	R_z [kN]	RO_x [kNm]
Max. hodnota	3,103	0,806	6,024	-
Min. hodnota	-3,103	-0,992	2,471	-

S16:G1+G2+G3+G4+G5+G6+G7+G8+Q9+W17:

	V_3 [kN]	M_2 [kNm]	R_z [kN]	RO_x [kNm]
Max. hodnota	3,550	0,918	6,845	-
Min. hodnota	-3,551	-1,132	2,791	-

W17:G1+G2+G3+G4+G5+G6+G7+G8+Q9+S16:

	V_3 [kN]	M_2 [kNm]	R_z [kN]	RO_x [kNm]
Max. hodnota	3,304	0,856	6,394	-
Min. hodnota	-3,304	-1,055	2,615	-

G1+G2+G3+G4+G5+G6+G7+G8:

	V_3 [kN]	M_2 [kNm]	R_z [kN]	RO_x [kNm]
Max. hodnota	0,532	0,207	1,428	-
Min. hodnota	-0,532	-0,202	0,730	-

W17:G1+G2+G3+G4+G5+G6+G7+G8:

	V_3 [kN]	M_2 [kNm]	R_z [kN]	RO_x [kNm]
Max. hodnota	2,546	0,680	5,122	-
Min. hodnota	-2,547	-0,829	2,166	-

S16:G1+G2+G3+G4+G5+G6+G7+G8:

	V_3 [kN]	M_2 [kNm]	R_z [kN]	RO_x [kNm]
Max. hodnota	2,882	0,764	5,738	-
Min. hodnota	-2,883	-0,933	2,406	-

S16:G1+G2+G3+G4+G5+G6+G7+G8+W17:

	V_3 [kN]	M_2 [kNm]	R_z [kN]	RO_x [kNm]
Max. hodnota	4,091	1,064	7,954	-
Min. hodnota	-4,091	-1,309	3,267	-

W17:G1+G2+G3+G4+G5+G6+G7+G8+S16:

	V_3 [kN]	M_2 [kNm]	R_z [kN]	RO_x [kNm]
Max. hodnota	3,722	0,972	7,277	-
Min. hodnota	-3,722	-1,194	3,004	-

Q15:G1+G2+G3+G4+G5+G6+G7+G8:

	V_3 [kN]	M_2 [kNm]	R_z [kN]	RO_x [kNm]
Max. hodnota	2,072	0,730	2,969	-
Min. hodnota	-2,071	-0,464	1,991	-

Q15:G1+G2+G3+G4+G5+G6+G7+G8+W17:

	V_3 [kN]	M_2 [kNm]	R_z [kN]	RO_x [kNm]
Max. hodnota	3,281	1,012	5,185	-
Min. hodnota	-3,280	-0,840	2,852	-

W17:G1+G2+G3+G4+G5+G6+G7+G8+Q15:

	V_3 [kN]	M_2 [kNm]	R_z [kN]	RO_x [kNm]
Max. hodnota	3,625	1,046	6,200	-
Min. hodnota	-3,624	-1,012	3,049	-

Q15:G1+G2+G3+G4+G5+G6+G7+G8+S16:

	V_3 [kN]	M_2 [kNm]	R_z [kN]	RO_x [kNm]
Max. hodnota	3,247	1,004	5,123	-
Min. hodnota	-3,246	-0,829	2,828	-

S16:G1+G2+G3+G4+G5+G6+G7+G8+Q15:

	V_3 [kN]	M_2 [kNm]	R_z [kN]	RO_x [kNm]
Max. hodnota	3,961	1,129	6,816	-
Min. hodnota	-3,960	-1,116	3,288	-

Q15:G1+G2+G3+G4+G5+G6+G7+G8+S16+W17:

	V_3 [kN]	M_2 [kNm]	R_z [kN]	RO_x [kNm]
Max. hodnota	4,456	1,294	7,340	-

	V_3 [kN]	M_2 [kNm]	R_z [kN]	RO_x [kNm]
Min. hodnota	-4,455	-1,205	3,690	-

S16:G1+G2+G3+G4+G5+G6+G7+G8+Q15+W17:

	V_3 [kN]	M_2 [kNm]	R_z [kN]	RO_x [kNm]
Max. hodnota	5,169	1,430	9,033	-
Min. hodnota	-5,169	-1,492	4,149	-

W17:G1+G2+G3+G4+G5+G6+G7+G8+Q15+S16:

	V_3 [kN]	M_2 [kNm]	R_z [kN]	RO_x [kNm]
Max. hodnota	4,800	1,338	8,355	-
Min. hodnota	-4,799	-1,378	3,886	-

Q14:G1+G2+G3+G4+G5+G6+G7+G8:

	V_3 [kN]	M_2 [kNm]	R_z [kN]	RO_x [kNm]
Max. hodnota	2,057	0,563	4,788	-
Min. hodnota	-2,259	-0,812	0,714	-

Q14:G1+G2+G3+G4+G5+G6+G7+G8+W17:

	V_3 [kN]	M_2 [kNm]	R_z [kN]	RO_x [kNm]
Max. hodnota	3,065	0,863	7,005	-
Min. hodnota	-3,468	-1,188	1,575	-

W17:G1+G2+G3+G4+G5+G6+G7+G8+Q14:

	V_3 [kN]	M_2 [kNm]	R_z [kN]	RO_x [kNm]
Max. hodnota	3,246	0,949	7,474	-
Min. hodnota	-3,756	-1,256	2,155	-

Q14:G1+G2+G3+G4+G5+G6+G7+G8+S16:

	V_3 [kN]	M_2 [kNm]	R_z [kN]	RO_x [kNm]
Max. hodnota	3,037	0,855	6,943	-
Min. hodnota	-3,434	-1,178	1,551	-

S16:G1+G2+G3+G4+G5+G6+G7+G8+Q14:

	V_3 [kN]	M_2 [kNm]	R_z [kN]	RO_x [kNm]
Max. hodnota	3,526	1,032	8,090	-
Min. hodnota	-4,091	-1,360	2,394	-

Q14:G1+G2+G3+G4+G5+G6+G7+G8+S16+W17:

	V_3 [kN]	M_2 [kNm]	R_z [kN]	RO_x [kNm]
Max. hodnota	4,044	1,155	9,160	-
Min. hodnota	-4,643	-1,554	2,413	-

S16:G1+G2+G3+G4+G5+G6+G7+G8+Q14+W17:

	V_3 [kN]	M_2 [kNm]	R_z [kN]	RO_x [kNm]
Max. hodnota	4,534	1,333	10,307	-
Min. hodnota	-5,300	-1,736	3,256	-

W17:G1+G2+G3+G4+G5+G6+G7+G8+Q14+S16:

	V_3 [kN]	M_2 [kNm]	R_z [kN]	RO_x [kNm]
Max. hodnota	4,226	1,241	9,629	-
Min. hodnota	-4,931	-1,621	2,992	-

Q13:G1+G2+G3+G4+G5+G6+G7+G8:

	V_3 [kN]	M_2 [kNm]	R_z [kN]	RO_x [kNm]
Max. hodnota	2,259	0,556	4,788	-
Min. hodnota	-2,057	-0,812	0,714	-

Q13:G1+G2+G3+G4+G5+G6+G7+G8+W17:

	V_3 [kN]	M_2 [kNm]	R_z [kN]	RO_x [kNm]
Max. hodnota	3,467	0,854	7,005	-
Min. hodnota	-3,065	-1,188	1,575	-

W17:G1+G2+G3+G4+G5+G6+G7+G8+Q13:

	V_3 [kN]	M_2 [kNm]	R_z [kN]	RO_x [kNm]
Max. hodnota	3,755	0,938	7,474	-
Min. hodnota	-3,246	-1,256	2,154	-

Q13:G1+G2+G3+G4+G5+G6+G7+G8+S16:

	V_3 [kN]	M_2 [kNm]	R_z [kN]	RO_x [kNm]
Max. hodnota	3,434	0,846	6,943	-
Min. hodnota	-3,037	-1,178	1,551	-

S16:G1+G2+G3+G4+G5+G6+G7+G8+Q13:

	V_3 [kN]	M_2 [kNm]	R_z [kN]	RO_x [kNm]
Max. hodnota	4,091	1,021	8,090	-
Min. hodnota	-3,526	-1,360	2,394	-

Q13:G1+G2+G3+G4+G5+G6+G7+G8+S16+W17:

	V_3 [kN]	M_2 [kNm]	R_z [kN]	RO_x [kNm]
Max. hodnota	4,643	1,144	9,160	-
Min. hodnota	-4,044	-1,554	2,413	-

S16:G1+G2+G3+G4+G5+G6+G7+G8+Q13+W17:

	V_3 [kN]	M_2 [kNm]	R_z [kN]	RO_x [kNm]
Max. hodnota	5,300	1,320	10,306	-
Min. hodnota	-4,534	-1,736	3,255	-

W17:G1+G2+G3+G4+G5+G6+G7+G8+Q13+S16:

	V_3 [kN]	M_2 [kNm]	R_z [kN]	RO_x [kNm]
Max. hodnota	4,931	1,229	9,629	-
Min. hodnota	-4,226	-1,621	2,992	-

Q12:G1+G2+G3+G4+G5+G6+G7+G8:

	V_3 [kN]	M_2 [kNm]	R_z [kN]	RO_x [kNm]
Max. hodnota	2,071	0,729	2,969	-
Min. hodnota	-2,072	-0,464	1,991	-

Q12:G1+G2+G3+G4+G5+G6+G7+G8+W17:

	V_3 [kN]	M_2 [kNm]	R_z [kN]	RO_x [kNm]
Max. hodnota	3,280	1,011	5,185	-
Min. hodnota	-3,281	-0,840	2,852	-

W17:G1+G2+G3+G4+G5+G6+G7+G8+Q12:

	V_3 [kN]	M_2 [kNm]	R_z [kN]	RO_x [kNm]
Max. hodnota	3,624	1,046	6,201	-
Min. hodnota	-3,625	-1,012	3,048	-

Q12:G1+G2+G3+G4+G5+G6+G7+G8+S16:

	V_3 [kN]	M_2 [kNm]	R_z [kN]	RO_x [kNm]
Max. hodnota	3,246	1,003	5,124	-
Min. hodnota	-3,248	-0,829	2,828	-

S16:G1+G2+G3+G4+G5+G6+G7+G8+Q12:

	V_3 [kN]	M_2 [kNm]	R_z [kN]	RO_x [kNm]
Max. hodnota	3,960	1,130	6,816	-

	V ₃ [kN]	M ₂ [kNm]	R _z [kN]	RO _x [kNm]
Min. hodnota	-3,961	-1,116	3,288	-

Q12:G1+G2+G3+G4+G5+G6+G7+G8+S16+W17:

	V ₃ [kN]	M ₂ [kNm]	R _z [kN]	RO _x [kNm]
Max. hodnota	4,455	1,295	7,340	-
Min. hodnota	-4,457	-1,205	3,690	-

S16:G1+G2+G3+G4+G5+G6+G7+G8+Q12+W17:

	V ₃ [kN]	M ₂ [kNm]	R _z [kN]	RO _x [kNm]
Max. hodnota	5,168	1,430	9,033	-
Min. hodnota	-5,170	-1,492	4,149	-

W17:G1+G2+G3+G4+G5+G6+G7+G8+Q12+S16:

	V ₃ [kN]	M ₂ [kNm]	R _z [kN]	RO _x [kNm]
Max. hodnota	4,799	1,338	8,356	-
Min. hodnota	-4,800	-1,378	3,886	-

Q11:G1+G2+G3+G4+G5+G6+G7+G8:

	V ₃ [kN]	M ₂ [kNm]	R _z [kN]	RO _x [kNm]
Max. hodnota	2,072	0,730	2,968	-
Min. hodnota	-2,072	-0,464	1,991	-

Q11:G1+G2+G3+G4+G5+G6+G7+G8+W17:

	V ₃ [kN]	M ₂ [kNm]	R _z [kN]	RO _x [kNm]
Max. hodnota	3,281	1,012	5,185	-
Min. hodnota	-3,281	-0,840	2,852	-

W17:G1+G2+G3+G4+G5+G6+G7+G8+Q11:

	V ₃ [kN]	M ₂ [kNm]	R _z [kN]	RO _x [kNm]
Max. hodnota	3,625	1,046	6,200	-
Min. hodnota	-3,625	-1,012	3,048	-

Q11:G1+G2+G3+G4+G5+G6+G7+G8+S16:

	V ₃ [kN]	M ₂ [kNm]	R _z [kN]	RO _x [kNm]
Max. hodnota	3,247	1,004	5,123	-
Min. hodnota	-3,248	-0,829	2,828	-

S16:G1+G2+G3+G4+G5+G6+G7+G8+Q11:

	V ₃ [kN]	M ₂ [kNm]	R _z [kN]	RO _x [kNm]
Max. hodnota	3,960	1,130	6,816	-
Min. hodnota	-3,961	-1,116	3,288	-

Q11:G1+G2+G3+G4+G5+G6+G7+G8+S16+W17:

	V ₃ [kN]	M ₂ [kNm]	R _z [kN]	RO _x [kNm]
Max. hodnota	4,456	1,295	7,340	-
Min. hodnota	-4,456	-1,205	3,690	-

S16:G1+G2+G3+G4+G5+G6+G7+G8+Q11+W17:

	V ₃ [kN]	M ₂ [kNm]	R _z [kN]	RO _x [kNm]
Max. hodnota	5,169	1,430	9,033	-
Min. hodnota	-5,170	-1,492	4,149	-

W17:G1+G2+G3+G4+G5+G6+G7+G8+Q11+S16:

	V ₃ [kN]	M ₂ [kNm]	R _z [kN]	RO _x [kNm]
Max. hodnota	4,800	1,338	8,355	-
Min. hodnota	-4,800	-1,378	3,886	-

Q10:G1+G2+G3+G4+G5+G6+G7+G8:

	V_3 [kN]	M_2 [kNm]	R_z [kN]	RO_x [kNm]
Max. hodnota	1,823	0,498	2,966	-
Min. hodnota	-1,823	-0,463	0,667	-

Q10:G1+G2+G3+G4+G5+G6+G7+G8+W17:

	V_3 [kN]	M_2 [kNm]	R_z [kN]	RO_x [kNm]
Max. hodnota	2,831	0,592	5,183	-
Min. hodnota	-2,831	-0,839	1,528	-

W17:G1+G2+G3+G4+G5+G6+G7+G8+Q10:

	V_3 [kN]	M_2 [kNm]	R_z [kN]	RO_x [kNm]
Max. hodnota	3,083	0,606	6,199	-
Min. hodnota	-3,083	-1,011	2,122	-

Q10:G1+G2+G3+G4+G5+G6+G7+G8+S16:

	V_3 [kN]	M_2 [kNm]	R_z [kN]	RO_x [kNm]
Max. hodnota	2,803	0,589	5,121	-
Min. hodnota	-2,803	-0,828	1,504	-

S16:G1+G2+G3+G4+G5+G6+G7+G8+Q10:

	V_3 [kN]	M_2 [kNm]	R_z [kN]	RO_x [kNm]
Max. hodnota	3,363	0,690	6,815	-
Min. hodnota	-3,363	-1,116	2,361	-

Q10:G1+G2+G3+G4+G5+G6+G7+G8+S16+W17:

	V_3 [kN]	M_2 [kNm]	R_z [kN]	RO_x [kNm]
Max. hodnota	3,810	0,683	7,338	-
Min. hodnota	-3,810	-1,205	2,366	-

S16:G1+G2+G3+G4+G5+G6+G7+G8+Q10+W17:

	V_3 [kN]	M_2 [kNm]	R_z [kN]	RO_x [kNm]
Max. hodnota	4,370	0,990	9,031	-
Min. hodnota	-4,370	-1,492	3,223	-

W17:G1+G2+G3+G4+G5+G6+G7+G8+Q10+S16:

	V_3 [kN]	M_2 [kNm]	R_z [kN]	RO_x [kNm]
Max. hodnota	4,062	0,899	8,354	-
Min. hodnota	-4,062	-1,377	2,959	-

Q9:G1+G2+G3+G4+G5+G6+G7+G8:

	V_3 [kN]	M_2 [kNm]	R_z [kN]	RO_x [kNm]
Max. hodnota	2,211	0,598	4,507	-
Min. hodnota	-2,211	-0,724	1,927	-

Q9:G1+G2+G3+G4+G5+G6+G7+G8+W17:

	V_3 [kN]	M_2 [kNm]	R_z [kN]	RO_x [kNm]
Max. hodnota	3,420	0,897	6,723	-
Min. hodnota	-3,420	-1,100	2,788	-

W17:G1+G2+G3+G4+G5+G6+G7+G8+Q9:

	V_3 [kN]	M_2 [kNm]	R_z [kN]	RO_x [kNm]
Max. hodnota	3,722	0,972	7,277	-
Min. hodnota	-3,722	-1,194	3,004	-

Q9:G1+G2+G3+G4+G5+G6+G7+G8+S16:

	V_3 [kN]	M_2 [kNm]	R_z [kN]	RO_x [kNm]
Max. hodnota	3,386	0,889	6,662	-

	V_3 [kN]	M_2 [kNm]	R_z [kN]	RO_x [kNm]
Min. hodnota	-3,386	-1,090	2,765	-

S16:G1+G2+G3+G4+G5+G6+G7+G8+Q9:

	V_3 [kN]	M_2 [kNm]	R_z [kN]	RO_x [kNm]
Max. hodnota	4,058	1,056	7,893	-
Min. hodnota	-4,058	-1,299	3,243	-

Q9:G1+G2+G3+G4+G5+G6+G7+G8+S16+W17:

	V_3 [kN]	M_2 [kNm]	R_z [kN]	RO_x [kNm]
Max. hodnota	4,595	1,189	8,878	-
Min. hodnota	-4,595	-1,466	3,626	-

S16:G1+G2+G3+G4+G5+G6+G7+G8+Q9+W17:

	V_3 [kN]	M_2 [kNm]	R_z [kN]	RO_x [kNm]
Max. hodnota	5,266	1,356	10,109	-
Min. hodnota	-5,267	-1,675	4,105	-

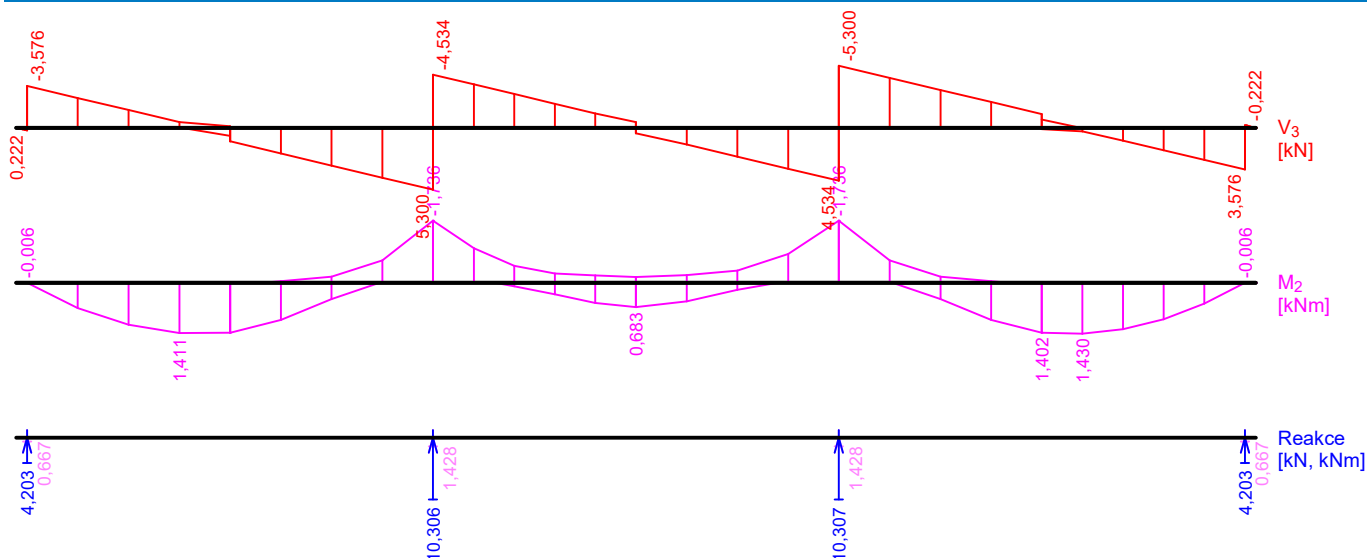
W17:G1+G2+G3+G4+G5+G6+G7+G8+Q9+S16:

	V_3 [kN]	M_2 [kNm]	R_z [kN]	RO_x [kNm]
Max. hodnota	4,897	1,265	9,432	-
Min. hodnota	-4,897	-1,560	3,841	-

Obálky

Obálka základní návrhová (MSÚ)								
x [m]	Max M_2 [kNm]	Min M_2 [kNm]	Max V_3 [kN]	Min V_3 [kN]	Max R_z [kN]	Min R_z [kN]	Max RO_x [kNm]	Min RO_x [kNm]
0,000	0,000	0,000	0,000	0,000	-	-	-	-
0,006	0,000	0,000	0,027	0,001	-	-	-	-
0,012	0,000	0,000	0,053	0,002	-	-	-	-
0,019	0,000	-0,001	0,084	0,004	-	-	-	-
0,025	0,000	-0,001	0,111	0,005	-	-	-	-
0,031	0,000	-0,002	0,137	0,006	-	-	-	-
0,038	0,000	-0,003	0,168	0,008	-	-	-	-
0,044	0,000	-0,004	0,195	0,009	-	-	-	-
0,050	0,000L	-0,006L	0,222L	0,010L	4,203	0,667	-	-
0,050	0,000P	-0,006P	-0,177P	-3,576P	-	-	-	-
0,283	0,707	0,034	-0,130	-2,544	-	-	-	-
0,516	1,179	0,058	-0,083	-1,512	-	-	-	-
0,750	1,411	0,073	-0,036	-0,488	-	-	-	-
0,983	1,403L	0,076L	0,689L	-0,128L	-	-	-	-
0,983	1,403P	0,076P	1,162P	0,344P	-	-	-	-
0,984	1,402	0,075	1,166	0,344	-	-	-	-
1,217	1,039	-0,043	2,198	0,391	-	-	-	-
1,450	0,456	-0,172	3,231	0,438	-	-	-	-
1,684	-0,027	-0,623	4,268	0,485	-	-	-	-
1,917	-0,202L	-1,736L	5,300L	0,532L	10,306	1,428	-	-
1,917	-0,202P	-1,736P	-0,423P	-4,534P	-	-	-	-
2,104	-0,108	-0,966	-0,386	-3,705	-	-	-	-
2,290	0,099	-0,468	-0,348	-2,881	-	-	-	-
2,477	0,329	-0,258	-0,311	-2,053	-	-	-	-
2,663	0,572	-0,204	-0,273	-1,229	-	-	-	-
2,850	0,683L	-0,156L	-0,002L	-0,470L	-	-	-	-

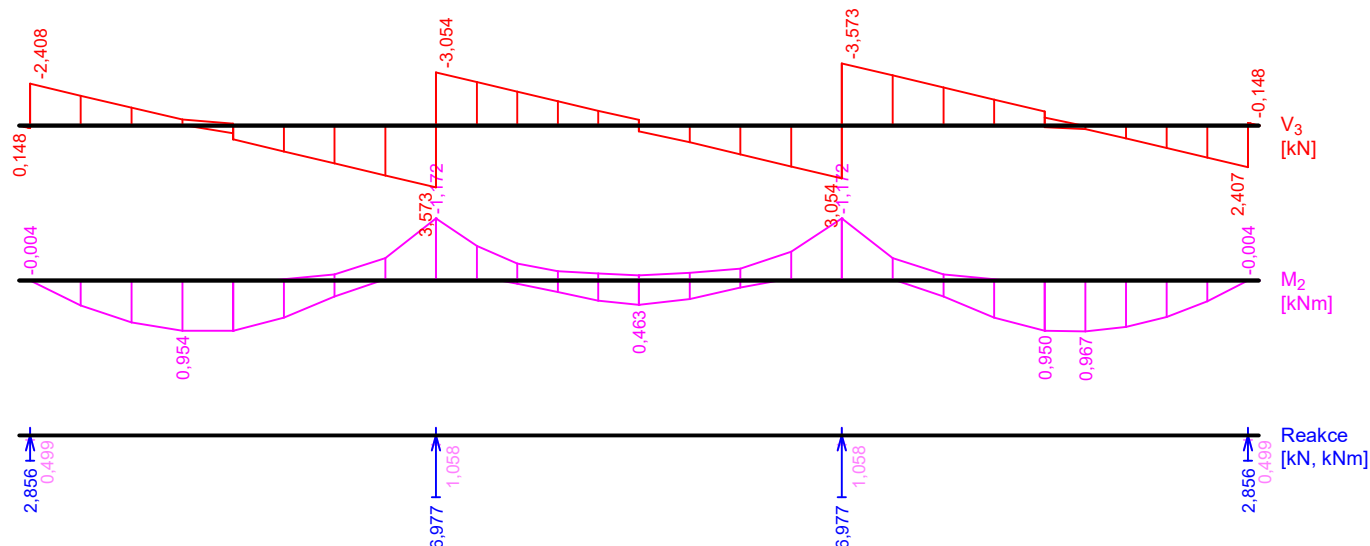
Obálka základní návrhová (MSÚ)								
x [m]	Max M ₂ [kNm]	Min M ₂ [kNm]	Max V ₃ [kN]	Min V ₃ [kN]	Max R _z [kN]	Min R _z [kN]	Max RO _x [kNm]	Min RO _x [kNm]
2,850	0,683P	-0,156P	0,470P	0,002P	-	-	-	-
3,083	0,523	-0,216	1,432	0,283	-	-	-	-
3,316	0,202	-0,335	2,465	0,330	-	-	-	-
3,550	-0,052	-0,802	3,502	0,376	-	-	-	-
3,783	-0,202L	-1,736L	4,534L	0,423L	10,307	1,428	-	-
3,783	-0,202P	-1,736P	-0,532P	-5,300P	-	-	-	-
4,016	-0,027	-0,623	-0,485	-4,268	-	-	-	-
4,250	0,456	-0,172	-0,438	-3,231	-	-	-	-
4,483	1,039	-0,043	-0,391	-2,199	-	-	-	-
4,716	1,402L	0,075L	-0,345L	-1,166L	-	-	-	-
4,716	1,402P	0,075P	0,128P	-0,694P	-	-	-	-
4,903	1,430	0,074	0,308	0,027	-	-	-	-
5,090	1,303	0,065	1,095	0,064	-	-	-	-
5,276	1,023	0,050	1,919	0,102	-	-	-	-
5,463	0,587	0,027	2,748	0,139	-	-	-	-
5,650	0,000L	-0,006L	3,576L	0,177L	4,203	0,667	-	-
5,650	0,000P	-0,006P	-0,010P	-0,222P	-	-	-	-
5,656	0,000	-0,004	-0,009	-0,195	-	-	-	-
5,662	0,000	-0,003	-0,008	-0,168	-	-	-	-
5,669	0,000	-0,002	-0,006	-0,137	-	-	-	-
5,675	0,000	-0,001	-0,005	-0,111	-	-	-	-
5,681	0,000	-0,001	-0,004	-0,084	-	-	-	-
5,688	0,000	0,000	-0,002	-0,053	-	-	-	-
5,694	0,000	0,000	-0,001	-0,027	-	-	-	-
5,700	0,000	0,000	0,000	0,000	-	-	-	-



Obálka charakteristická (MSP)								
x [m]	Max M ₂ [kNm]	Min M ₂ [kNm]	Max V ₃ [kN]	Min V ₃ [kN]	Max R _z [kN]	Min R _z [kN]	Max RO _x [kNm]	Min RO _x [kNm]
0,000	0,000	0,000	0,000	0,000	-	-	-	-

Obálka charakteristická (MSP)								
x [m]	Max M ₂ [kNm]	Min M ₂ [kNm]	Max V ₃ [kN]	Min V ₃ [kN]	Max R _z [kN]	Min R _z [kN]	Max RO _x [kNm]	Min RO _x [kNm]
0,006	0,000	0,000	0,018	0,001	-	-	-	-
0,012	0,000	0,000	0,036	0,002	-	-	-	-
0,019	0,000	-0,001	0,056	0,003	-	-	-	-
0,025	0,000	-0,001	0,074	0,004	-	-	-	-
0,031	0,000	-0,001	0,092	0,005	-	-	-	-
0,038	0,000	-0,002	0,113	0,006	-	-	-	-
0,044	0,000	-0,003	0,131	0,007	-	-	-	-
0,050	0,000L	-0,004L	0,148L	0,007L	2,856	0,499	-	-
0,050	0,000P	-0,004P	-0,141P	-2,408P	-	-	-	-
0,283	0,476	0,027	-0,107	-1,716	-	-	-	-
0,516	0,795	0,048	-0,072	-1,024	-	-	-	-
0,750	0,954	0,061	-0,037	-0,338	-	-	-	-
0,983	0,951L	0,066L	0,450L	-0,095L	-	-	-	-
0,983	0,951P	0,066P	0,800P	0,255P	-	-	-	-
0,984	0,950	0,065	0,803	0,255	-	-	-	-
1,217	0,702	-0,020	1,495	0,290	-	-	-	-
1,450	0,306	-0,113	2,186	0,324	-	-	-	-
1,684	-0,025	-0,422	2,881	0,359	-	-	-	-
1,917	-0,150L	-1,172L	3,573L	0,394L	6,977	1,058	-	-
1,917	-0,150P	-1,172P	-0,314P	-3,054P	-	-	-	-
2,104	-0,082	-0,653	-0,286	-2,499	-	-	-	-
2,290	0,062	-0,316	-0,258	-1,947	-	-	-	-
2,477	0,219	-0,172	-0,230	-1,391	-	-	-	-
2,663	0,386	-0,131	-0,203	-0,839	-	-	-	-
2,850	0,463L	-0,096L	-0,019L	-0,331L	-	-	-	-
2,850	0,463P	-0,096P	0,331P	0,019P	-	-	-	-
3,083	0,352	-0,141	0,976	0,209	-	-	-	-
3,316	0,133	-0,225	1,668	0,244	-	-	-	-
3,550	-0,043	-0,543	2,362	0,279	-	-	-	-
3,783	-0,150L	-1,172L	3,054L	0,314L	6,977	1,058	-	-
3,783	-0,150P	-1,172P	-0,394P	-3,573P	-	-	-	-
4,016	-0,025	-0,422	-0,359	-2,881	-	-	-	-
4,250	0,306	-0,113	-0,325	-2,186	-	-	-	-
4,483	0,702	-0,020	-0,290	-1,495	-	-	-	-
4,716	0,950L	0,066L	-0,255L	-0,803L	-	-	-	-
4,716	0,950P	0,066P	0,095P	-0,453P	-	-	-	-
4,903	0,967	0,063	0,217	0,030	-	-	-	-
5,090	0,879	0,054	0,745	0,058	-	-	-	-
5,276	0,690	0,041	1,297	0,086	-	-	-	-
5,463	0,395	0,022	1,852	0,113	-	-	-	-
5,650	0,000L	-0,004L	2,407L	0,141L	2,856	0,499	-	-
5,650	0,000P	-0,004P	-0,007P	-0,148P	-	-	-	-
5,656	0,000	-0,003	-0,007	-0,131	-	-	-	-
5,662	0,000	-0,002	-0,006	-0,113	-	-	-	-
5,669	0,000	-0,001	-0,005	-0,092	-	-	-	-
5,675	0,000	-0,001	-0,004	-0,074	-	-	-	-
5,681	0,000	-0,001	-0,003	-0,056	-	-	-	-

Obálka charakteristická (MSP)								
x [m]	Max M ₂ [kNm]	Min M ₂ [kNm]	Max V ₃ [kN]	Min V ₃ [kN]	Max R _z [kN]	Min R _z [kN]	Max RO _x [kNm]	Min RO _x [kNm]
5,688	0,000	0,000	-0,002	-0,036	-	-	-	-
5,694	0,000	0,000	-0,001	-0,018	-	-	-	-
5,700	0,000	0,000	0,000	0,000	-	-	-	-



Extrémy reakcí

Extrémy reakcí základní návrhová (MSÚ)	
x [m]	Reakce
0,050	Max R _z = 4,203kN - S16:G1+G2+G3+G4+G5+G6+G7+G8+Q12+W17
0,050	Min R _z = 0,667kN - Q10:G1+G2+G3+G4+G5+G6+G7+G8
1,917	Max R _z = 10,306kN - S16:G1+G2+G3+G4+G5+G6+G7+G8+Q13+W17
1,917	Min R _z = 1,428kN - G1+G2+G3+G4+G5+G6+G7+G8
3,783	Max R _z = 10,307kN - S16:G1+G2+G3+G4+G5+G6+G7+G8+Q14+W17
3,783	Min R _z = 1,428kN - G1+G2+G3+G4+G5+G6+G7+G8
5,650	Max R _z = 4,203kN - S16:G1+G2+G3+G4+G5+G6+G7+G8+Q15+W17
5,650	Min R _z = 0,667kN - Q10:G1+G2+G3+G4+G5+G6+G7+G8

Extrémy reakcí charakteristická (MSP)	
x [m]	Reakce
0,050	Max R _z = 2,856kN - S16:G1+G2+G3+G4+G5+G6+G7+G8+Q12+W17
0,050	Min R _z = 0,499kN - Q10:G1+G2+G3+G4+G5+G6+G7+G8
1,917	Max R _z = 6,977kN - S16:G1+G2+G3+G4+G5+G6+G7+G8+Q13+W17
1,917	Min R _z = 1,058kN - G1+G2+G3+G4+G5+G6+G7+G8
3,783	Max R _z = 6,977kN - S16:G1+G2+G3+G4+G5+G6+G7+G8+Q14+W17
3,783	Min R _z = 1,058kN - G1+G2+G3+G4+G5+G6+G7+G8
5,650	Max R _z = 2,856kN - S16:G1+G2+G3+G4+G5+G6+G7+G8+Q15+W17
5,650	Min R _z = 0,499kN - Q10:G1+G2+G3+G4+G5+G6+G7+G8

1.2 Výsledky

Celkové posouzení

Rozhodující zatěžovací případ: S16:G1+G2+G3+G4+G5+G6+G7+G8+Q14+W17; Třída průřezu: 1

Posudek smyku od posouvající síly V_z :

5,300 kN < 158,471 kN **Vyhovuje**

Ohybový moment: $M_y = -1,736$ kNm

Posudek ohybu:

Únosnost: $M_{y,R} = -22,482$ kNm

$|0,077| < 1$ **Vyhovuje**

Průřez vyhovuje

Průhyb

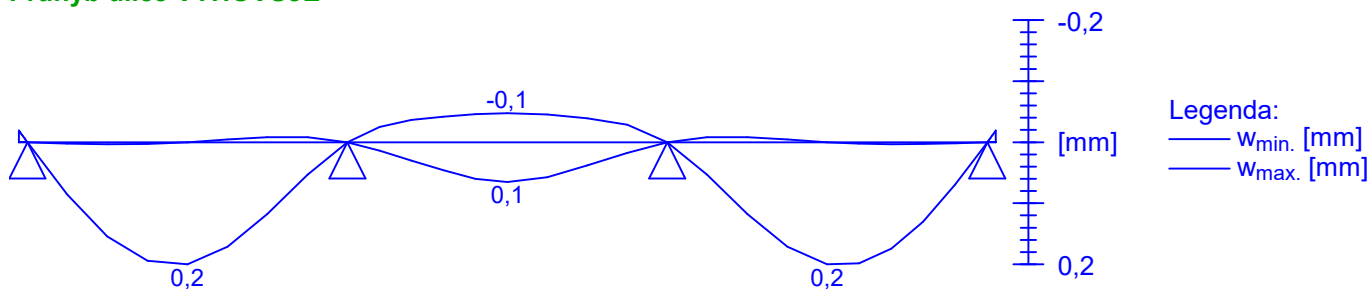
Charakteristické zatěžovací případy

Maximální deformace dílce je 0,0mm v bodě $x = 0,000$ m

Maximální povolená deformace dílce je $0,100\text{m} / 400,0 = 0,2\text{mm}$

$0,0\text{mm} < 0,2\text{mm}$ **Vyhovuje**

Průhyb dílce VYHOVUJE



2 Sloupek 100/100/6,3

2.1 Vstupní data

Délka dílce: 2,900 m

Průřez

Úsek č.	Začátek [m]	Konec [m]	Průřez	Natočení [°]
1	0,000	2,900	TC 100 x 100 x 6	0,0

Materiál

Název: EN 10210-1 : S 235

Vnitřní síly

Celkový počet zatěžovacích případů: 1

Zat. případ 1:

	N[kN]	V_3 [kN]	M_2 [kNm]	V_2 [kN]	M_3 [kNm]	T_t [kNm]	T_ω [kNm]	B[kNm ²]
Max. hodnota	-10,306	0,000	0,000	0,000	0,000	0,000	0,000	0,000
Min. hodnota	-10,813	0,000	0,000	0,000	0,000	0,000	0,000	0,000

Vzpěr

Vzpěr při vybočení kolmo k ose z:

Úsek č.	Začátek [m]	Konec [m]	Délka pro vzpěr [m]	Souč. vzp. délky k_z	Vzpěrná délka $L_{cr,z}$ [m]	Zadaná vzpěrná křivka
1	0,000	2,900	2,900	1,000	2,900	a

Vzpěr při vybočení kolmo k ose y:

Úsek č.	Začátek [m]	Konec [m]	Délka pro vzpěr [m]	Souč. vzp. délky k_y	Vzpěrná délka $L_{cr,y}$ [m]	Zadaná vzpěrná křivka
1	0,000	2,900	2,900	1,000	2,900	a

2.2 Výsledky

Celkové posouzení

Rozhodující zatěžovací případ: Zat. případ 1; **Třída průřezu:** 1

Vnitřní síly: $N = -10,813 \text{ kN}$; $M_y = 0,000 \text{ kNm}$; $M_z = 0,000 \text{ kNm}$

Posudek nejnepříznivější kombinace vzpěrného tlaku a ohybu:

Vzpěr Y: Únosnosti: $N_R = -409,323 \text{ kN}$

$|0,026 + 0,000 + 0,000| = |0,026| < 1$ **Vyhovuje**

Vzpěr Z: Únosnosti: $N_R = -409,323 \text{ kN}$

$|0,026 + 0,000 + 0,000| = |0,026| < 1$ **Vyhovuje**

Štíhlost dílce: 76,0

Průřez vyhovuje